Doos digo Envelope ID: 3000A7B4-9A46-48F0-B483-8A6B2CF7B3D7

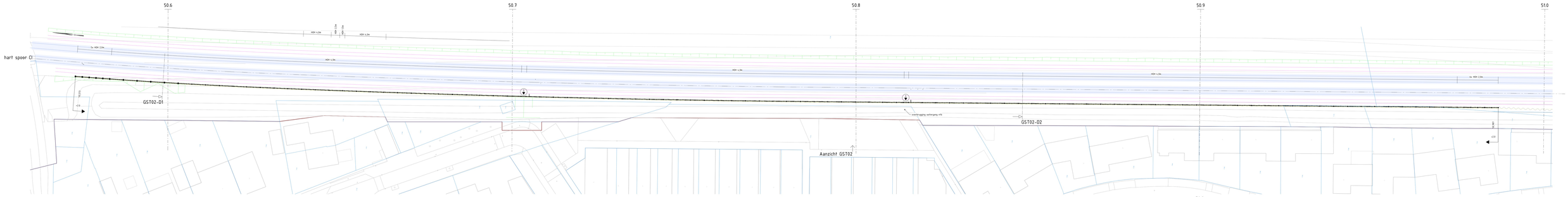

Overzicht - GST02

SCHAAL: 1 : 200

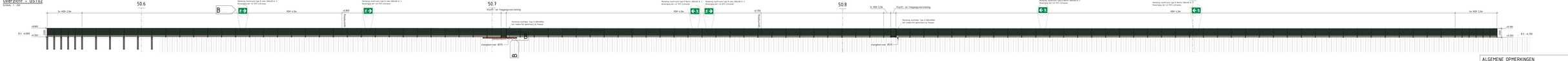

Aanzicht GST02

SCHAAL: 1 : 200

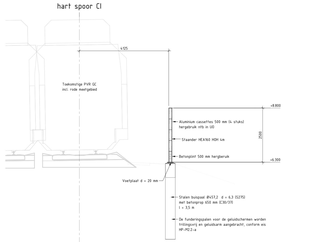

GST02-D1

SCHAAL: 1 : 50

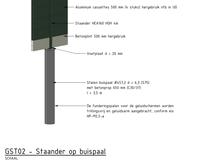

GST02 - Staander op buispaal

SCHAAL:

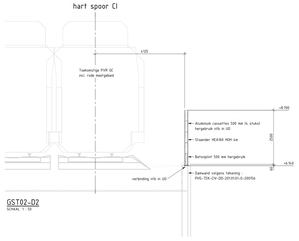

GST02-D2

SCHAAL: 1 : 50

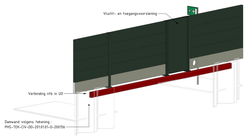

GST02 - Vlucht- en toegangsroute - KM50.7

SCHAAL:

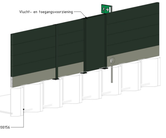

GST02 - Vlucht- en toegangsroute - KM 50.814

SCHAAL:

Principe draairichting toegangspoort

SCHAAL: 1 : 10

ALGEMENE OPMERKINGEN

- Alle maten zijn in mm, tenzij anders aangegeven
- Hoogtematen zijn in meters t.o.v. N.A.P.
- Alle maten dienen te worden gecontroleerd/vastgesteld.
- Plaatmarking hekken in RAL-grijsmetallic 75

B

SPECIFIEKE OPMERKINGEN

- Nieuwe aluminium panelen gecoat in RAL9009
- Specificatie aluminium panelen volgens ENV1090
- Nieuwe stalen delen (o.a. staanders) gecoat in RAL9009, tenzij anders vermeld
- GST04, GST05 & GST06 voorzien van energieneutrale bepleting, Hedera, aan de niet-spoorzijde
- GST07 voorzien van energieneutrale bepleting, Hedera, aan beide zijden
- Nieuwe aluminium hekken in GST01
- Vrijkomende panelen tbv RD201 worden hergebruikt in GST01, max vrij nr 10
- Vrijkomende betonpilaren tbv RD201 worden hergebruikt in GST02
- Vrijkomende aluminium cassettes tbv RD201 worden hergebruikt in GST03
- Nieuwe elementen in GST03 en GST05 in dezelfde witte kleur als hergebruikte elementen
- Bij witte schermen extra hedra planten conform ITW-2019
- Detaillering vlucht- en toegangsoverzetsteg vrij

B

REFERENTIEBESTANDEN

- CDP-RAIL_PHASE1_MOD_CV_DO_Kerende constructies.rvt	21-11-2023
- CDP-RAIL_PHASE1_MOD_CV_DO_Tijdelijk sportkrag.rvt	22-01-2024
- A-N-W-GRENS_BYVAG1.dwg	11-08-2023
- A-N-W-GRENS_BYVAG2 DOOR SPOORS.dwg	11-08-2023
- A-N-W-GRENS_SYSTEEM.dwg	13-11-2023
- A-N-W-OBJECTEN.dwg	31-10-2023
- A-N-W-OBJECTEN.dwg	31-10-2023
- NR-TIJDELIJKE_SITUATIE_WEGEN.dwg	12-04-2023
- PHS1-MOD-WC-0001_Doorsnede 1.1.dwg	28-11-2023
- PHS1-MOD-WC-0001_Perron C1.rvt	29-09-2023
- PHS1-MOD-WC-0001_Perron C2.rvt	29-09-2023
- PHS1-MOD-SW-0001_Samenbuisvloeren C1_C2.rvt	22-11-2023
- XCAD-X-N-W-CSR_BAAN_STAPI-Model-20-20230124.dwg	11-08-2023

TEKENINGEN

PHS-TEK-CIV-DO-201310-D-290156	Gelaatsdoorsnede en kerende constructie - GST02, KC701 en KC702
PHS-TEK-CIV-DO-201310-D-290157	Gelaatsdoorsnede en kerende constructie - GST03
PHS-TEK-CIV-DO-201310-D-290158	Gelaatsdoorsnede en kerende constructie - GST04, KC704
PHS-TEK-CIV-DO-201310-D-290159	Gelaatsdoorsnede en kerende constructie - GST05, KC707
PHS-TEK-CIV-DO-201310-D-290160	Gelaatsdoorsnede en kerende constructie - GST06 en KC706
PHS-TEK-CIV-DO-205103-D-290278	Gelaatsdoorsnede - GST01
PHS-TEK-CIV-DO-205103-D-290279	Gelaatsdoorsnede - GST03
PHS-TEK-CIV-DO-205103-D-290280	Gelaatsdoorsnede - GST04
PHS-TEK-CIV-DO-205103-D-290281	Gelaatsdoorsnede - GST05
PHS-TEK-CIV-DO-205103-D-290282	Gelaatsdoorsnede - GST06 en GST07
PHS-TEK-CIV-DO-205103-D-290283	Gelaatsdoorsnede - GST08
PHS-TEK-CIV-DO-205103-D-290289	Aanzichten gelaatsdoorsnede - BG09
PHS-TEK-CIV-DO-205103-D-290290	Aanzichten gelaatsdoorsnede KM50.560 - BG010
PHS-TEK-CIV-DO-205103-D-290291	Aanzichten gelaatsdoorsnede - BG011

SHE Box
Safety, Health & Environment

- Bij twijfel over veiligheid altijd contact opnemen met Veiligheid Bij Uitvoering/ gladdeheide constructies en gelaatsdoorsnede
- Uitvoeren naar onderzoek van aanwezigheid van het gegronden explosieven (MOD)
- Uitvoeren van bio-archeologie en eventuele hervul volgende daarbij/ingeleid ten aanwezigheid kabels en leidingen in de ondergrond
- Asbest in de bodem (AMA)

E	1-N-W-GRENS_BYVAG2 DOOR SPOORS.dwg		Opmerkingen CIV verwerkt	
D	28-11-2023	[redacted]	[redacted]	Eerste uitgave
C/C1	08-11-2023	[redacted]	[redacted]	Interne review
Uitg	Datum	[redacted]	Per	Omschrijving

Tekeningnummer inkoopcontract: PHS-TEK-CIV-DO-205-03-05-D-200277

Tekeningnummer:

bam INFRA — BOUWT AAN DE MOBILITEIT VAN MORGEN

Deze tekening vervangt:

Ontwerp: [redacted]	Tek.	PHS Den Bosch - Vught	Schaal: 1:200 (A1) / 1:400 (A3)
Gecontroleerd: [redacted]	Tek.	GST02	Formaat: A1 (841x594)
Goedgekeurd: [redacted]	Tek.	Overzichtstekening	Blad: 1 / 1
Vrijgegeven: [redacted]	Tek.		Tek.voorbijl: Overzicht

ProRail — 50.573 - 50.987